

# Алгоритмы обучения многоклассовому распознаванию образов по большим массивам данных

Маленичев А.А., Моттль В.В., Середин О.С., Красоткина О.В.

ФГБОУ ВПО Тульский государственный университет

Херсониссос, 2014

## CAUTION! BIG DATA!



## Метод k-ближайших соседей (k-Nearest Neighbor algorithm)

### + Достоинства:

Простота, легкая масштабируемость

### - Недостатки:

Использует всю выборку для обучения

### Ссылки:

- 1 P. Jain, A. Kapoor. Active Learning for Large Multi-class Problems. Proc. the IEEE Conference on Computer Vision and Pattern Recognition (CVPR), 2009.

## Метод опорных векторов (SVM for Active Learning)

### + Достоинства:

В процессе обучения часть объектов может быть вообще выброшена из рассмотрения (так называемые неопорные объекты);

### - Недостатки:

Высокая вычислительная сложность: двухклассовый SVM в общем виде имеет алгоритмическую сложность в худшем случае  $O(N^3)$ , в среднем —  $O(N^2)$ , в лучшем -  $O(N \ln(N))$ .

### Ссылки:

- 1 E. Y. Chang, S. Tong, K. Goh, and C. Chang. Support vector machine conceptdependent active learning for image retrieval. IEEE Transactions on Multimedia, 2005.;
- 2 S. Tong and D. Koller. Support vector machine active learning with applications to text classification. In ICML, 2000.

## Постановка задачи многоклассовой классификации для больших массивов данных

- ▶ Предположим, что существует множество объектов реального мира  $\Omega$ .
- ▶ Каждый объект  $\omega \in \Omega$  может быть охарактеризован числом  $y \in \{0, 1, \dots, m - 1\}$ , где  $m > 2$ , и вектором  $\mathbf{x} \in R^n$ ,  $n \geq 1$ , так называемые класс и вектор признаков соответственно.
- ▶ Задача многоклассовой классификации заключается в том, чтобы построить некоторую решающую функцию  $f(\mathbf{x})$ , которая по вектору  $\mathbf{x}_i$  некоторого объекта  $\omega_i$  будет возвращать его  $y_i$  и, говоря нестрогим языком, будет «как можно реже ошибаться».
- ▶ Мы будем рассматривать задачу обучения с учителем: предположим, что существует некоторая совокупность объектов  $\bar{\Omega} \subset \Omega$ , для которых известны как векторы  $\mathbf{x}$ , так и классы  $y$ . Размер такой совокупности будет составлять  $N$
- ▶ Для ясности будем считать, что задача анализа больших массивов данных подразумевает  $N \geq 10000$ .

## Алгоритм решения поставленной задачи

- ▶ Решение задачи двухклассовой классификации для больших массивов данных
- ▶ Вычисление функции степени достоверности принадлежности объекта к классу для каждой пары классов
- ▶ Согласование полученных функций степени достоверности и вычисление вектора принадлежности объекта к одному из  $m$  классов

## Алгоритм двухклассовой классификации для больших массивов данных: модель логистической регрессии

Для разработки алгоритма многоклассовой классификации разработаем сначала алгоритм двухклассовой классификации: в случае двухклассовой классификации  $y_i \in \{-1, 1\}$ . В качестве основы возьмём алгоритм логистической регрессии.

Примем следующую модель данных: предположим, что объект  $\omega_i$  относится к классу  $y_i$  с вероятностью

$$Lf_y(\mathbf{x}_i, y_i, \mathbf{a}, b, \gamma) = \frac{1}{1 + \exp[-\gamma y_i(\mathbf{a}^T \mathbf{x}_i + b)]},$$

где  $\mathbf{a}, b$  — коэффициенты разделяющей гиперплоскости,  $\gamma$  — параметр, характеризующий меру пересечения объектов первого и минус первого класса.

## Модель логистической регрессии: переход в расширенное пространство признаков

Переведём объекты в расширенное пространство признаков при помощи следующей замены

$$\mathbf{z}_j = \begin{pmatrix} \mathbf{x}_j \\ 1 \end{pmatrix}, \mathbf{c} = \begin{pmatrix} \mathbf{a} \\ b \end{pmatrix}.$$

Тогда вероятность отнесения объекта  $\omega_i$  к классу  $y_i$  запишется в следующем виде:

$$Lf_y(\mathbf{z}_i, y_i, \mathbf{c}, \gamma) = \frac{1}{1 + \exp[-\gamma y_i \mathbf{c}^T \mathbf{z}_i]}.$$

## Критерий обучения

Задача: требуется найти такой вектор  $\mathbf{c}$ , чтобы вероятность того, что все объекты обучающей совокупности классифицируются правильно, была максимальна; вероятность корректной классификации всех объектов составляет произведение вероятностей корректной классификации каждого объекта.

$$\mathbf{c} = \arg \max_{\mathbf{c}} \left( \prod_{j=1}^N \frac{1}{1 + \exp(-\gamma y_j \mathbf{c}^T \mathbf{z}_j)} \right)$$

После преобразования отсюда можно получить критерий

$$J(\mathbf{Z}, \mathbf{y}, \mathbf{c}, \gamma) = \sum_{j=1}^N \ln [1 + \exp(-\gamma y_j \mathbf{c}^T \mathbf{z}_j)] \rightarrow \min$$

## Процедура оптимизации критерия обучения

Оптимизация ведётся по методу Ньютона. Каждое следующее приближение  $\mathbf{c}^{k+1}$  получается из предыдущего путём решения системы линейных алгебраических уравнений

$$\mathbf{c}^{k+1} = - [\nabla_{\mathbf{c}\mathbf{c}}^2 J(\mathbf{Z}, \mathbf{y}, \mathbf{c}^k, \gamma) + \beta \mathbf{I}]^{-1} \nabla_{\mathbf{c}} J(\mathbf{Z}, \mathbf{y}, \mathbf{c}^k, \gamma) + \mathbf{c}^k,$$

где

$$\nabla_{\mathbf{c}} J(\mathbf{Z}, \mathbf{y}, \mathbf{c}^k, \gamma) = -\gamma \sum_{j=1}^N \frac{y_j}{1 + \exp(\gamma y_j (\mathbf{c}^k)^T \mathbf{z}_j)} \mathbf{z}_j$$

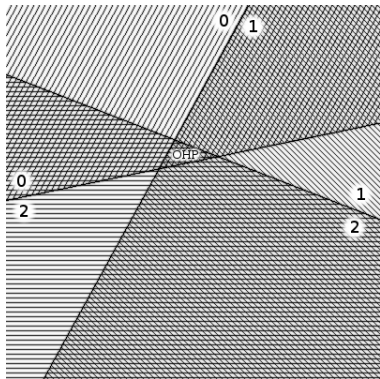
$$\nabla_{\mathbf{c}\mathbf{c}}^2 J(\mathbf{Z}, \mathbf{y}, \mathbf{c}^k, \gamma) = \gamma^2 \sum_{j=1}^N \frac{\exp(\gamma y_j (\mathbf{c}^k)^T \mathbf{z}_j)}{[1 + \exp(\gamma y_j (\mathbf{c}^k)^T \mathbf{z}_j)]^2} \mathbf{z}_j \mathbf{z}_j^T$$

## Идея алгоритма многоклассовой классификации

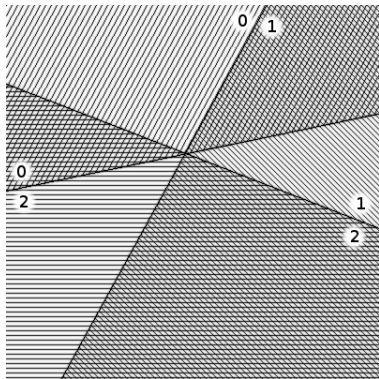
- ▶ Идея: если существует алгоритм, позволяющий произвести классификацию в каждой паре классов и построить своё решающее правило между ними, то тогда для любого нового поступившего объекта немедленно находится доминирующий класс в каждой из пар, по нему находится общий доминирующий класс.
- ▶ Однако иногда выбрать доминирующий класс не представляется возможным: к примеру, в случае трёх классов правила могут войти в так называемый парадокс Кондорсе: по предпочтительности классы будут иметь вид  $0 \prec 1$ ,  $1 \prec 2$ ,  $2 \prec 0$  и найти наиболее предпочтительный класс не представляется возможным. Область пространства признаков, где наблюдается такая несовместность, называется областью непринятия решений (ОНР).
- ▶ Но в случае расширенного пространства признаков парадокса Кондорсе возникнуть не может, поскольку все линейные гиперплоскости проходят через начало координат.

- └ Задача многоклассовой классификации для больших массивов данных
- └ Вычисление вектора принадлежности объекта к одному из  $m$  классов

## Область непринятия решений



Наличие ОНР в  
стандартном пространстве  
признаков



Отсутствие ОНР в  
расширенном пространстве  
признаков

## Вычисление вероятности отнесения объекта к одному из $m$ классов

Представленный выше алгоритм двухклассовой классификации выгоден тем, что он может оценивать не только класс нового объекта, но и вероятность его отнесения к данному классу.

Вероятность отнесения объекта с расширенным вектором признаков  $\mathbf{z}_i$  к классу  $y_i$  составляет

$$Lf_y(\mathbf{z}_i, y_i, \tilde{\mathbf{c}}, \tilde{\gamma}) = \frac{1}{1 + \exp[-\tilde{\gamma} y_i \tilde{\mathbf{c}}^T \mathbf{z}_i]}.$$

Это позволит в качестве результата обучения не только указать наиболее предпочтительный класс, но и вернуть вектор вероятностей отнесения объекта к каждому из классов  $\boldsymbol{\pi}(\mathbf{z})$ . Очевидно, что

$$\sum_{k=1}^m \pi_k(\mathbf{z}) = 1.$$

## Процедура обучения многоклассовому распознаванию образов

Из всей обучающей совокупности выберем все объекты классов  $k$  и  $l$ . После обучения каждому новому объекту каждое попарное правило сравнения поставит в соответствие вероятность  $P_1^{kl}$  — вероятность отнесения объекта к классу  $k$  в пределах пары классов  $(k, l)$ . Тогда вероятности принадлежности объекта  $\mathbf{z}$  к одному из  $m$  классов могут быть вычислены следующим образом:

$$\pi^k(\mathbf{z}) = \left( \sum_{l=1}^{k-1} \frac{1 - P_1^{lk}(\mathbf{z})}{P_1^{lk}(\mathbf{z})} + 1 + \sum_{l=k+1}^m \frac{1 - P_1^{kl}(\mathbf{z})}{P_1^{kl}(\mathbf{z})} \right)^{-1}$$

## Нормировка вероятностей

Вообще, строго говоря, это верно не всегда, поскольку попарные вероятности  $P_1^{kl}(\mathbf{z})$  получены независимо друг от друга, плюс ко всему являются лишь оценками истинных вероятностей: их совокупность может оказаться несовместной. Однако опыт показывает, что если несовместность и наблюдается, она присутствует лишь в очень малых областях пространства признаков. Однако в случае, если несовместность всё-таки наблюдается, ищется наилучшая аппроксимация решения. Можно показать, что такой наилучшей аппроксимацией будет нормировка вероятностей к единице:

$$\hat{\pi}^k(\mathbf{z}) = \frac{\pi^k(\mathbf{z})}{\sum_{k=1}^m \pi^k(\mathbf{z})}$$

## Оценка вычислительной сложности предложенного алгоритма

Произведена оценка сложности алгоритма многоклассовой классификации в целом: при размере обучающей выборки в  $N$  объектов, при количестве признаков  $n$  и количестве классов  $m$  вычислительная сложность по временному ресурсу занимает

$$O(N, n, m) = N \cdot \ln(N) \cdot n^2 \cdot m,$$

по памяти —

$$O(N, n, m) = N \cdot n \cdot m^{-1}.$$

## Структура модельных данных

Для первоначальной оценки корректности работы программы исходная выборка объектов была сгенерирована следующим образом:  $N$  объектов с  $n = 2$  признаками (размерность расширенного признакового пространства равна 3) и  $m = 5$  различными классами. Каждый объект соответствующего класса — реализация случайного события, распределённого по нормальному закону со среднеквадратическим отклонением  $\sigma$  и математическим ожиданием  $(0, 0)$  для нулевого класса,  $(0, 2)$  для первого,  $(2, 0)$  для второго,  $(0, -2)$  для третьего и  $(-2, 0)$  для четвёртого.

## Реальные данные

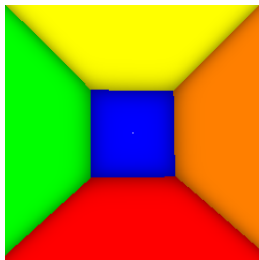
В качестве экспериментальной выборки для проверки корректности работы двухклассовой классификации была выбрана база данных <http://archive.ics.uci.edu/ml/datasets/SUSY>. Это база данных физического эксперимента, нацеленного на решение проблемы классификации процессов, порождающих суперсимметричные частицы, от процессов, не порождающих их.

## Сводная таблица результатов экспериментов

Выборка	Клас-сов	Кол-во объектов	Признаков	Время обучения	Процент класс-ии	Ожидае-мый %
Модельная	5	50000	2	мало	72.18	72.35
Модельная	5	50000	2	мало	72.19	72.35
Модельная	5	50000	2	мало	71.77	72.35
Модельная	5	35000000	2	7м 2с	72.21	72.35
SUSY	2	4500000	18	3м 46с	79	—
PUC-rio	5	165500	17	43с	90	—

## Результаты экспериментального исследования для модельных данных

Тестовая выборка — совокупность точек, равномерно распределённых в интервале  $(-3, 3)$  по обеим осям. При  $N = 50000$  и  $\sigma = 1$  тестовая выборка была классифицирована следующим образом (разными цветами обозначены разные классы):



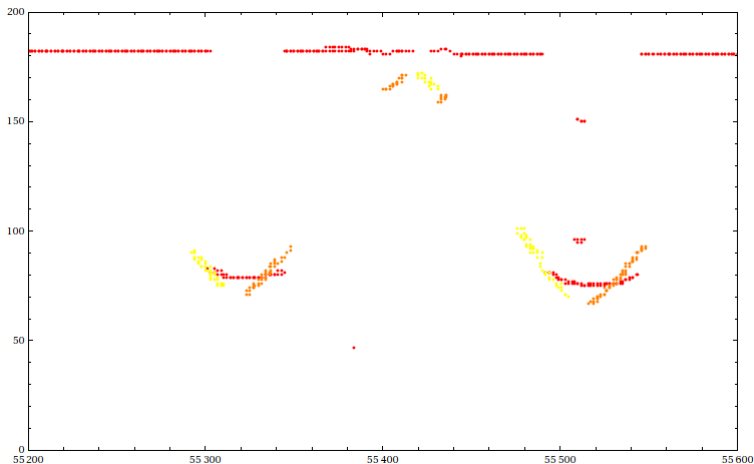
Классификация тестовой выборки

## Практическое применение — поиск стыков рельсового пути по дефектограмме

В качестве альтернативы путевым обходчикам при задаче анализа рельсового пути на дефекты предложен способ ультразвуковой дефектоскопии. В качестве идеи данного метода положено следующее рассуждение: при создании ультразвуковой волны на поверхности рельса, направленной строго (или нестрого) вниз, она отразится от встреченной ей особенности (в том числе и дефекта) и снова вернётся к поверхности рельса, где может быть уловлена датчиком.

В данной части работы будет рассматриваться только классификация выборки на три класса: в данной точке дефектограммы присутствует стык, присутствует болтовое отверстие или этих особенностей не имеется.

## Пример участка ультразвуковой дефектограммы в области стыка рельсов



## Результаты эксперимента

В качестве обучающей была использована выборка небольшого размера  $N = 935$  объектов с  $n = 769$  признаками. Результат классификации — 80% тестовой выборки было классифицировано корректно.

Для полного решения задачи распознавания стыков рельсового пути требуется после классификации добавить механизм марковской цепи, а также механизм совмещения точек рельсового пути, полученных после прогонки дефектоскопа по одному и тому же участку пути несколько раз.

## Направление дальнейших исследований

- ▶ Применение метода стохастической аппроксимации для задач классификации больших массивов данных
- ▶ Применение марковской цепи для улучшения качества определения стыков на ультразвуковой дефектограмме